

Obliczenie transformatora trójfazowego

230

| | |
|-------|-------|
| 0,584 | 584 |
| 292 | 292 |
| 96673 | 96673 |

Stanisław Fryze
śwach. 4. k. elekt.

Obliczanie transformatora trójfazowego z chłodzeniem olejowym dla skutku elektropermu $\lambda = 35 \text{ kV}$, napięcie pierwotnego 5000 V wtórnego 500 V , dla poprzeku silnika asynchronicznego $\alpha \cos \varphi = 0.87$ (przy pełnym obciążeniu).

Dane:

$$e_1 = 5000 \text{ V} = e_2 = 500 \text{ V}, \quad \lambda = 35 \text{ kV}, \quad \cos \varphi = 0.87 \text{ (tak jak w silniku)}$$

1. Gentki prądu w miedzi wrogienia $S = 1.2$ (wyjmie), zatem

2. Straty miedzi na $1 \text{ kg} = 2,6 \cdot 5^2 = 2,6 \cdot 1,2^2 = 3,75 \text{ Watt}$
poniżej $v_m = 3,75 \text{ Watt/kg}$

3. Straty żelaza (histeretyczne i przepływowe) przyjmuje się dla blach grubości $0,3 \text{ mm}$ na $1 \text{ kg} = 2,5 \text{ Watt}$
poniżej $v_z = 2,5 \text{ Watt/kg}$

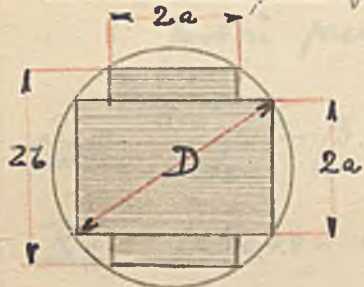
4. Stosunek cieniarków żelaza transformatora do miedzi wrogienia β

$$\beta = \frac{S_z}{S_m} = 1.5 \quad \beta = 1.5 \text{ (wyjmie)} ?$$

5. Stosunek strat żelaza : miedzi α

$$\alpha = \frac{v_z}{v_m} \cdot \beta = \frac{2,5}{3,75} \cdot 1.5 = 1 \quad \alpha = 1$$

6. Rozkład magnetyczny rdzenia i stopień wypromiania f_2



$$f_2 = \frac{\bar{f}_e}{\frac{\pi D^2}{4}} = \frac{0.616 D^2 \cdot 0.9}{\frac{\pi D^2}{4}} = 0.71$$

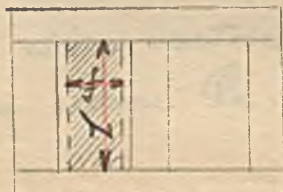
aktynowy polega na geometrycznym polu,

$$f_2 = 0.71.$$

Maximum dla takiego rozkładu magnetycznego $a = 0.263 D$
 -biorąc pod uwagę $\bar{f}_e = 0.616 D^2$, a $B = 0.425 D$

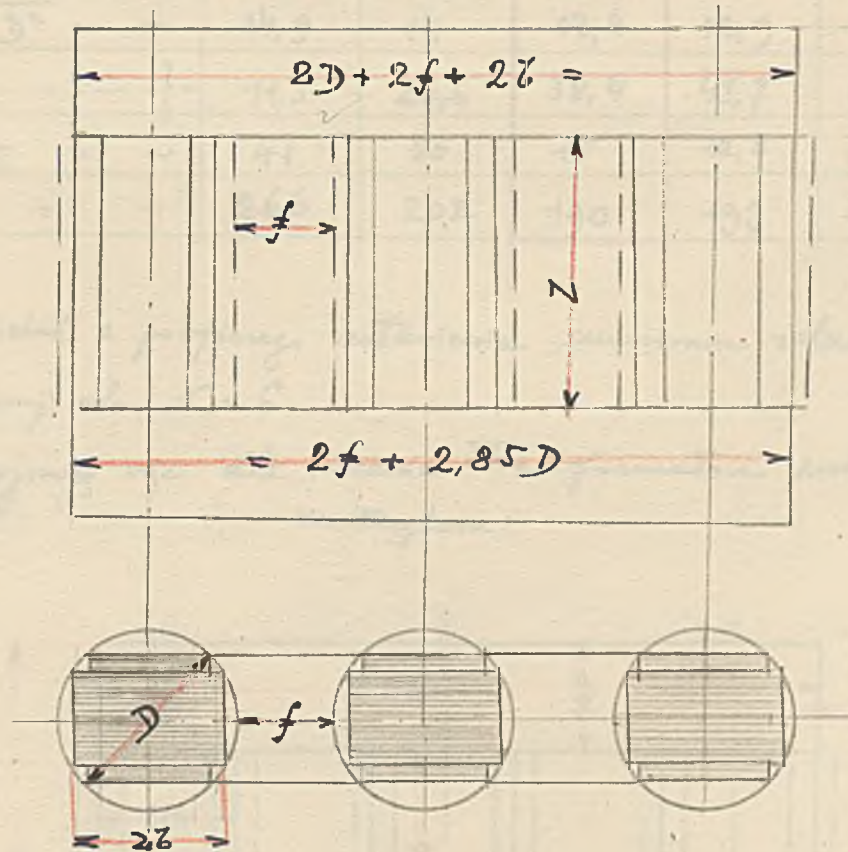
7. Stopień wypromiania miedzi f_m

$$f_m = \frac{g_1 \xi_1 + g_2 \xi_2}{f \cdot l} = \frac{Q_m}{f \cdot l} \text{ przyjmie } f_m = 0.253$$



3. Obliczanie wymiarów rdzenia transformatora.

$$l = \frac{D}{3} \left\{ K - 2,85 + \sqrt{(K-2,85)^2 + \frac{3K}{\sqrt{5}} \cdot (K-4)} \right\}$$



$$\text{dla } f_e = 0,616 D^2 \\ \therefore f_e = 0,71$$

W podanym wzorze oznacza:

$$R = \frac{0,385 \cdot L \cdot 10^6}{f_e \cdot f_m \cdot B \cdot v \cdot s} = \frac{0,385 \cdot 35000 \cdot 10^6}{0,71 \cdot 0,253 \cdot 12000 \cdot 50 \cdot 62} = 104200$$

W grotach linii magnes rdzenia przyjmuje $B = \sim 12000$ max

v. ilość periódów na sekundę = 50.

s. grotów prędu = 6,2.

$$S = \frac{3,5 \cdot f_m \cdot \beta}{f_e} = \frac{3,5 \cdot 0,253}{0,71} \cdot 1,5 = 1,87$$

$$RS = 104200 \cdot 1,87 = 195000$$

$\gamma K = \frac{RS}{D^4}$ przyjmując od 5-9, gdy nigdy żadni wartościami dotyczą minimum zdarza.

$$2 \text{ pojemności } D^4 = \frac{RS}{K} = \frac{195000}{5 \text{ do } 9}$$

$$f = \frac{R}{D^2 l} \quad \text{Ciąg zdarzeń } Q_e = 0,006 D^2 \cdot f_e (3l + 4f + 5,7 D)$$

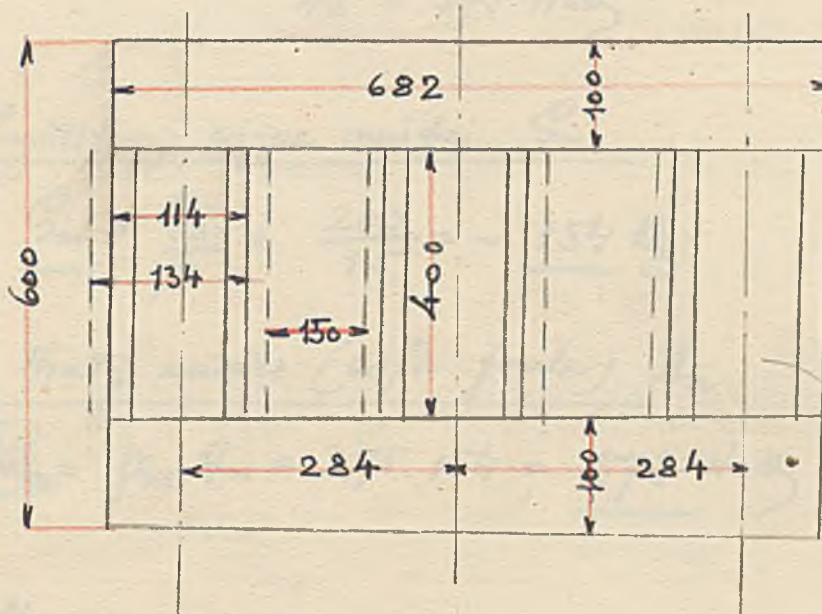
Pozycjonując różne wartości dla K (od 4 do 8) obliczam D , l , f oraz ciąg zdarzeń Q_e . Podaje to następująca tabela.

| $K = \frac{RS}{D^4}$ (przyjmując) | 4 | 5 | 6 | 7 | 8 | |
|-----------------------------------|--------|--------|--------|--------|--------|--|
| $D^4 = \frac{RS}{K} = \sim$ | 48,700 | 38,900 | 32,400 | 27,800 | 24,300 | |
| $D^2 = \sqrt{D^4} = \sim$ | 221 | 197 | 180 | 167 | 156 | |
| $D = \sqrt{D^2} = \sim$ | 14,9 | 14 | 13,4 | 12,9 | 12,5 | |
| $f = \frac{D}{3}$ | 11,5 | 26,6 | 38,4 | 48,7 | 58,2 | |
| $f = \frac{R}{D^2 K} = \sim$ | 41 | 20 | 15 | 12,8 | 11,5 | |
| $g_e = \sim$ | 266 | 202 | 190 | 193 | 195 | |

Jak widać z przyjętego rozstawienia minimum złącza (a nie dalej i mniej) dostarczamy dla $K=6$.

Pryjmując więc dla rdzenia transformatora następujące wymiary:
zaokrąglone:

$$\frac{682}{400} = 1,7$$



Pryjmując jąmka.

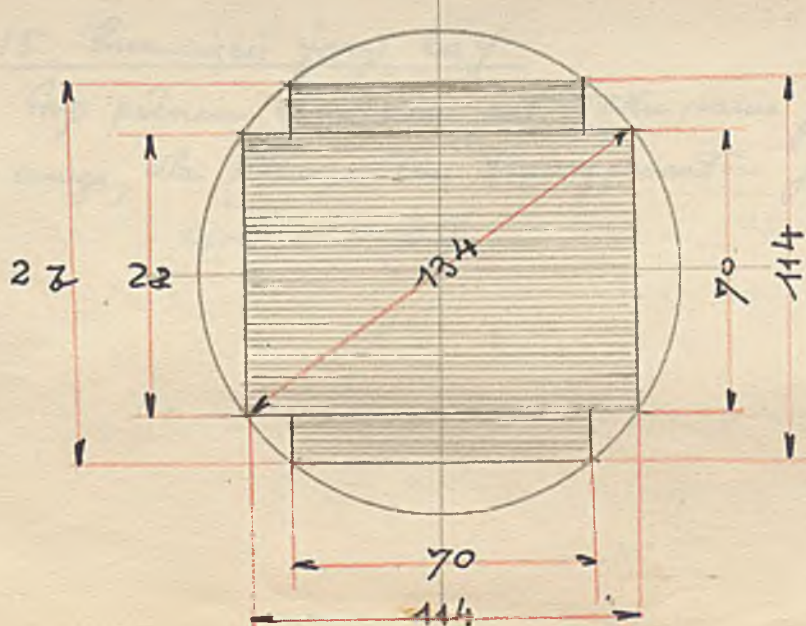
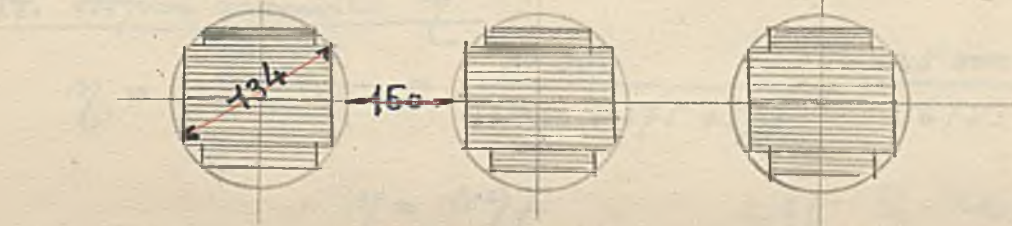
$$F_z = 0.616 D^2 = 0.9 \\ 0.9 \cdot 0.616 \cdot 134^2 = 100 \text{ cm}^2$$

$$F_{jam} = 0.9 \cdot 114 \cdot x = 100 \text{ cm}^2$$

$$x = \frac{100}{0.9 \cdot 114} = 9,75 \text{ cm}$$

$$\sim x = 10 \text{ cm} = 100\%$$

kolumny.



$$2a = 2 \cdot 263 \cdot 2 = 20263 \cdot 134 = 70\%$$

$$2a = 2 \cdot 0,425 \cdot 3 = 2 \cdot 0,425 \cdot 134 = 114\%$$

$$D = 134$$

9. Pretekroj rozbrenia ceviek F_2

$$F_2 = 0.9 \cdot 0.616 \cdot 2^2 = 0.9 \cdot 0.616 \cdot 13,4^2 = \sim 100 \text{ cm}^2$$

10. Czíar relace Transformátore S_2

$$S_2 = F_2 \cdot 3 \cdot 4 \cdot \frac{7.8}{1000} = 100 \cdot 3 \cdot 40 \frac{7.8}{1000} = \underline{\underline{93.5 \text{ kg}}}$$

$$+ 2 \cdot 68,2 \cdot 10 \cdot 11,4 \cdot 0.9 = \frac{7.8}{1000} = \underline{\underline{109 \text{ - }}} \quad \begin{matrix} \text{caži} \\ 380 \end{matrix}$$

$$\sim \underline{\underline{S_2 = 203 \text{ kg}}} \quad \begin{matrix} \text{caži} \\ 380 \end{matrix}$$

11. Straty zelace (hinterere i predy vireve) A_2

$$A_2 = p_2 \cdot S_2 = 2,5 \cdot 203 = 575 \text{ Watt} \quad \begin{matrix} 202 \\ 154 \\ \underline{\underline{356}} \end{matrix}$$

$$\underline{\underline{A_2 = 575 \text{ Watt}}}$$

12. Pnyblizomý cízar miedzi S_m

$$S_m = \frac{S_2}{\rho} = \frac{203}{7.5} = \sim \underline{\underline{154 \text{ kg}}}.$$

13. Straty miedzi (cerož ťoula) A_m

$$P_{m1} = p_m S_m = 3,75 \cdot 154 = \underline{\underline{578 \text{ Watt}}} \quad \begin{matrix} \text{stratnou} \end{matrix}$$

14. Stopyň spravnosti η

$$\eta = \frac{\frac{P_o}{P_p}}{\frac{P_o}{P_p} + \text{straty}} = \frac{35000}{35000 + 575 + 578} = \frac{35000}{36153} = 0.97$$

$$\underline{\underline{\eta = 0.97}} \quad 0.96 \text{ El. účinnosť}$$

15. Pracovnej farby η_f

Práv podľom obeceniu je totožné súčasťou arytmetického, ale ktorého Ten Transformátor je premenený, a vŕací

$$\underline{\underline{\eta_f = 0.87}}$$

16. Gradi w jednej fazie urojenia pierwotnego i_1

a) Przemienni fazy wtórne (były dla momentu asynchronicznego) $\cos\varphi_2 \approx 0.87$

z) Przyjmuje przemienni fazy pierwotne $\cos\varphi_1 = 0.85$

$$c) L = e_1 T_1 \sqrt{3} \cdot \cos\varphi_1 \cdot \eta \quad T_1 \text{ natomiast prąd pierwotny}$$

$$T_1 = \frac{L}{e_1 \sqrt{3} \cdot \cos\varphi_1 \cdot \eta} = \frac{35000}{5000 \cdot \sqrt{3} \cdot 0.85 \cdot 0.97} \approx 4.9 \text{ amper}$$

Przyjmuje dla urojenia pierwotnego potencjał w gwiazdzie λ , natom
iastek prąd pierwotny równy jest fazy pierwotnej, czyli $T_1 = i_1 = 4.9 \text{ amper}$

$$\underline{i_1 = 4.9 \text{ amper}}$$

17. Spadek napięcia ohmowe w jednej fazie $\underline{\epsilon'_I}$ (urojenie pierwotnego)

a) Czyniono straty miedzi były $A_m = 578 \approx 580 \text{ Watt}$

Rozdzielone po połówce na oba urojenia, czyli

$$\text{na трубie } A_{mI} = A_{mII} = \frac{580}{2} = 290 \text{ Watt}$$

$$\text{z) Ponieważ } A_{mI} = 3 \cdot i_1^2 R_I, \quad \underline{\epsilon'_I = i_1 R_I = \frac{A_{mI}}{3 i_1}}$$

$$\underline{\epsilon'_I = \frac{A_{mI}}{3 i_1} = \frac{290}{3 \cdot 4.9} = 19.7 \text{ V}}$$

18. Spadek napięcia indukcyjnego w jednej fazie $\underline{\epsilon''_I}$ (urojenie pierwotnego)

$$\text{Przyjmuje, że } \underline{\epsilon''_I = 80\% \epsilon'_I = 0.8 \cdot 19.7 \approx 15.8 \text{ V}}$$

19. Spadek napięcia całkowity w jednej fazie (urojenie pierwotnego)

$$\underline{\epsilon_I = \sqrt{\epsilon'^2_I + \epsilon''^2_I} = \sqrt{19.7^2 + 15.8^2} = 25.2 \text{ V} \approx 25 \text{ V}}$$

$$\underline{\epsilon_I = 25 \text{ V}}$$

20. S. E. M. jednej fazy urojenie pierwotnego (potencjał w gwiazdzie) E_I

$$E_I = \frac{e_I}{\sqrt{3}} - \epsilon_I = \frac{5000}{\sqrt{3}} - 25 = 2890 - 25 = 2865 \text{ V}$$

$$\underline{E_I = 2865 \text{ V}}$$

21. Procentowy spadek napięcie jednej fazy $\underline{\epsilon_I \%}$

$$\underline{\epsilon_I \% = \frac{25}{2890} \cdot 100 = 0.865 \%}$$

22. Procentowy spadek napięcia międzyprzewodami (pierwotni) $\underline{E_{II2}}$

$$\underline{\epsilon_{II2} = 0.865\% \cdot \sqrt{3} = \approx 1.5 \%}$$

23. Gradi v jednej fáci uvozienia vtorého iz

a) Preumisťenie fázy prúdu vtorého bolo ale v tomto asynchronickom čope $\cos\varphi = 0.87$.

To povie tiež musi byť vo vtorom uvoznení transformátora, ešte

$$\underline{\cos\varphi_2 = 0.87}$$

b) $L = \underline{e_2 i_2 \sqrt{3} \cdot \cos\varphi_2}$, ešte ale pre potrebu vpravo,

$$\underline{i_2 = \frac{L}{e_2 \cdot \sqrt{3} \cdot \cos\varphi_2} = \frac{35000}{500 \cdot \sqrt{3} \cdot 0.87} = 46.5 \text{ amper}}$$

(ocenkovanie toho povie vektorov vo prúde motoru asynchronickom)

24. Spadek napätia odnos v jednej fáci E''_{II} (uvozenie vtorého)

$$\underline{E''_{II} = \frac{A_m II}{3 \cdot i_2} = \frac{290}{3 \cdot 46.5} = 2.08 \text{ V}}$$

25. Spadek napätia indukčujúceho v jednej fáci E'_{II} (uvozenie vtorého)

$$\underline{E'_{II} = 0.8 \cdot E''_{II} = 2.08 \cdot 0.8 = \sim 1.66 \text{ V}}$$

26. Spadek napätia celkový v jednej fáci E_{II} (uvozenie vtorého)

$$\underline{E_{II} = \sqrt{2.08^2 + 1.66^2} = 2.64 \text{ V}}$$

$$\underline{E_{II} = 2.64 \text{ V}}$$

27. S.E.M. jednej fázy uvozienia vtorého (potreba vpravo) E_2

$$X \quad \underline{E_2 = \frac{500}{\sqrt{3}} + 2.64 = 289 + 2.64 = 291.64 \sim 292 \text{ V}}$$

$$\underline{\tilde{E}_2 = 292 \text{ V}}$$

Cákory

28. Procentový spadek napätia jednej fázy $E_{II} \%$

$$\underline{E_{II} \% = \frac{2.64}{292} \cdot 100 = 0.91 \%}$$

29. Procentový spadek napätia všetkých prúdových (vtorých) $E_{II1} \%$

$$\underline{E_{II1} = 0.91 \cdot \sqrt{3} = 1.57 \%}$$

30. Celkový spadek transformátora E

$$\underline{E = \sim E_{II1} + E_{II2} = 1.5 + 1.57 = 3.07 \% \sim 3.1 \%}$$

$$\underline{E = 3.1 \%}$$

31. Myxiniæ Transformatoræ

aj jak pierwotnie jak i wtórnie położenie w griczy

6) $i_1 = 4.9 \text{ a.m.p.}$, $i_2 = 46.5 \text{ a.m.p.}$ (predes v druzie certi: farovej)

c) $E_1 = 2865 \text{ V}$, $E_2 = 292 \text{ V}$ (jen církevní farářový)

a) Hlavní regiony a cestovní sezóny jarního období

$$Z_{f_1} = \frac{E_1 \cdot 10^8}{4,44 \cdot F_1 \cdot \omega} \quad F = F_1 \cdot B \quad \text{przyjmując } B = 10800$$

$$\phi = 100 \cdot 10,800 = \underline{1,08 \cdot 10^6}$$

$$\bar{f}_1 = \frac{2865 \cdot 10^8}{4,44 \cdot 1,08 \cdot 10^6 \cdot 50} = \sim 1200 \quad \approx 50 \text{ (periodov na sekundu)}$$

e) Preobrazujuca transformacyja

$$\mu = \frac{E_1}{E_2} = \frac{2865}{292} = 9,84$$

f) Horí rojov v ceste svrženia v ťomego § 2

$$\xi_2 = \frac{\xi_1}{\mu} = \frac{1200}{9,84} = 122 \sim 126$$

g) Iloraz cieków opóźnionego napisia m

$$a) \text{ napětí na jednu pírži } e = \frac{5000}{\sqrt{3} \cdot 1200} = \sim 2,4 \text{ V}$$

2) *Synomia marinaria* Breithaupt

6 cokach wyrótki rejsów po 200 woj.

6 " minkijo " po 21 noji

19 Hymenoptera druta wrożek pierwotnego g. i d. d.

a) Systole prae- -popendio proposito $s = 1,2$, retin

$$g = \frac{z_1}{s} = \frac{4.9}{1.2} = 4.1 \text{ m/s}^2$$

$$d_1 = \sqrt{\frac{4 \cdot g_1}{\pi}} = \sqrt{\frac{4 \cdot 1,4}{\pi}} = 2,28 \text{ m/s} \text{ f. przymiata} \quad 2,3 \text{ m/s} \text{ f.}$$

$$d_{ij} = 2,3 \text{ m.f. (go?y)}$$

$$d_1' = 2,8 \text{ } \% \text{ f } (2+ \text{days})$$

i) Dynamika jednego kreatku wysokiego napięcia

$$8 \text{ drutów } \times \text{jednym m}^2 = 8 \times 2,8 = 22,4 \text{ m}^2$$

megade isobacine & prothor - - - - + 6 v

average & standard - - - - -
average runtime - - - $\frac{240.5}{5} = 48$ -

Hastings, Hastings, $\mu = 25^{\text{th}}$,

portion marine $n = 2.5$ m
at $\frac{1}{2}$ distance

$$h = \frac{2}{27}$$

6) Wzór na pojemność baterii

- 1) Wzór na pojemność baterii: $6 \times 27 = 162 \text{ Ah}$ w tym samym czasie i z tą samą mocą napięcia.
- 2) " mocy " $6 \times 24 = 144 \text{ Ah}$
- 3) Wzór na pojemność baterii: $11 \times 5 = 55 \text{ Ah}$
- 4) " pojemność jawnie " $2 \times 19 \text{ Ah} = \frac{38}{399} \sim 400 \text{ Ah}$

32. Ilość oleju do chłodzenia

Ponajduje się natomiast w bloku faktury w celu obliczenia ilości oleju oleju w kg na 1 kW = $\left(\frac{40}{2} + 3 \cdot 6\right) \text{ kg}$

zatem $\theta = \frac{40}{35} + 3 \cdot 6 = 1,14 + 3,6 = 4,74 \text{ kg/kW}$

a) Calkowita ilość oleju biorąc θ

$$\theta = 4,74 \cdot 35 = 166 \text{ kg}$$

b) Objętość oleju V

$$V = \frac{\theta}{\rho} = \frac{166}{0,89} = 186 \text{ dm}^3$$

c) Objętość oleju i oleju zbiornika V_2

$$V_2 = \frac{\rho_2}{f_2} = \frac{203}{7,7} = 26,4 \text{ dm}^3$$

d) Objętość oleju i oleju zbiornika V_m

$$V_m = \frac{\rho_m}{f_m} = \frac{154}{8,9} = 17,3 \text{ dm}^3$$

e) Objętość oleju i oleju zbiornika V_{2m}

$$V_{2m} = 26,4 + 17,3 = 43,7 \text{ dm}^3 \sim 44 \text{ dm}^3$$

f) Objętość oleju i oleju zbiornika dodatkowego

Stawiaj na 60 dm^3

g) Calkowite objętość oleju V

$$V = 186 + 44 + 60 = 290 \text{ dm}^3$$

h) Powierzchnia dna F

$$F = \sim 36 \text{ dm}^2$$

i) Wysokość zbiornika oleju H

$$H = \frac{V}{F} = \frac{290}{36} = 8,05 \text{ dm} \quad H \sim 800 \text{ mm}$$

33. Temperatura mocy podstaw obliczenia

a) Poniższe obliczenia Transformatora O

$$O = \sim 3\pi l(D+f) + \frac{3\pi f}{4}(2D+f) + 2 \frac{\mu}{3} (3l+4f+5.7D)$$

$$= 3\pi \cdot 40(13,4+15) + \frac{3\pi \cdot 15}{4}(2 \cdot 13,4+15) + 13,4 \cdot \frac{456}{13,4} (3 \cdot 40 + 4 \cdot 15 + 5,7 \cdot 13,4) \\ = 377 \cdot 28,4 + 55,3 \cdot 41,8 + 45,5 \cdot 256 = \\ 10700 + 1475 + 11650 = \underline{23825 \text{ cm}^2}$$

b) straty cieplne $A = 575 + 578 = \underline{1153 \text{ Watt}}$

c) poniższa na 1 Watt $O = \frac{23825}{1153} = \underline{20,5 \text{ cm}^2/\text{Watt}} \quad \underline{54^\circ\text{C}}$

Dedykuj Kappę odpowiadającą poniższej na 1 Watt

d) Temperatura $\underline{T = 54^\circ\text{C}}$ co jest dozwolone.

34. Oblicz bieg jądrowego i_o

a) Bieg magnetyczny i_p

$$i_p = \frac{He(l+2D+2f+2x) + He(l+x+D+f) + 0.015 Be}{0.4\pi \cdot 1,5 \cdot \xi_1 \sqrt{2}}$$

$$B = 10800 \text{ (poprzednio przyjęto)}, \xi_1 = 1200, l = 40 \text{ cm}, D = 13,4 \text{ cm}, f = 15 \text{ cm}$$

$$x = \text{(ognisko jądra)} = 10 \text{ cm}$$

$$He \text{ (dla } Be = 10800) \dots \underline{4,4}, He' \text{ (dla } \frac{B}{2} = \frac{10800}{2} = 5400) \dots \underline{1}$$

$$\underline{i_p = \frac{4,4(40+2 \cdot 13,4+2 \cdot 15+2 \cdot 10) + 1(40+10+13,4+15) + 0,015 \cdot 10800}{0,4\pi \cdot 1,5 \cdot 1200 \sqrt{2}} = 0,234 \text{ amp}}$$

straty mocy biegów bieżących odpowiadają stratom cieplnym, ergo

$$3 \cdot i_w \cdot e_1 = A \underline{z} = 575 \text{ Watt}$$

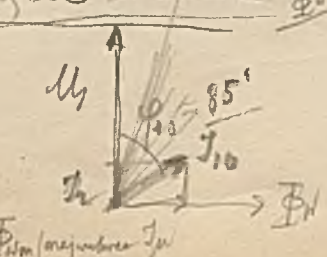
$$3 \cdot i_w \cdot 2890 = 575$$

$$\underline{i_w = \frac{575}{3 \cdot 2890} = 0,0664 \text{ amp}}$$

$$\underline{i_o = \sqrt{i_p^2 + i_w^2} = \sqrt{0,234^2 + 0,0664^2} = \sim 0,244 \text{ amp}}$$

$$\underline{i_b = 0,244 \text{ amp}}$$

Napiecie nośnika



$I_{12} = I_{10}$ trojkat Kappę



$$R = R_1 + R_2 \frac{x_1}{x_2}$$

$$X = X_1 + X_2 \frac{x_1}{x_2}$$

Prawo ohmego, prace zero

